

## B) A VÍZ ALATTI SZÁRNYAK

### 3. A véges terjedtségű szárny

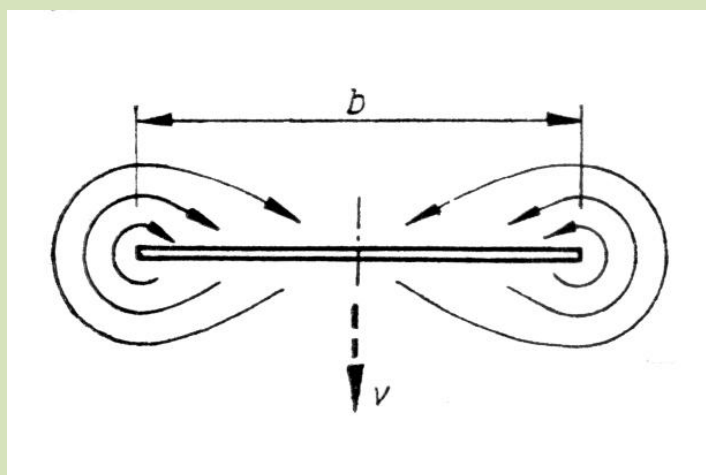
#### a) A szárny örvényrendszere és az indukált ellenállás

A víz alatti szárnyfelületek körül kialakuló áramlást és a keletkező erők alakulását mindeddig azzal az egyszerűsítő feltevessel vizsgáltuk, hogy a szárnyat az áramlás irányára merőlegesen végtelen hosszúnak képzeltük el. Ezzel a feltételezéssel a szárny egymás melletti metszetei körül kialakuló áramlás képét teljesen egyformának tekinthettük és egyetlen, az áramlás irányával párhuzamos síkban vizsgálhattuk.

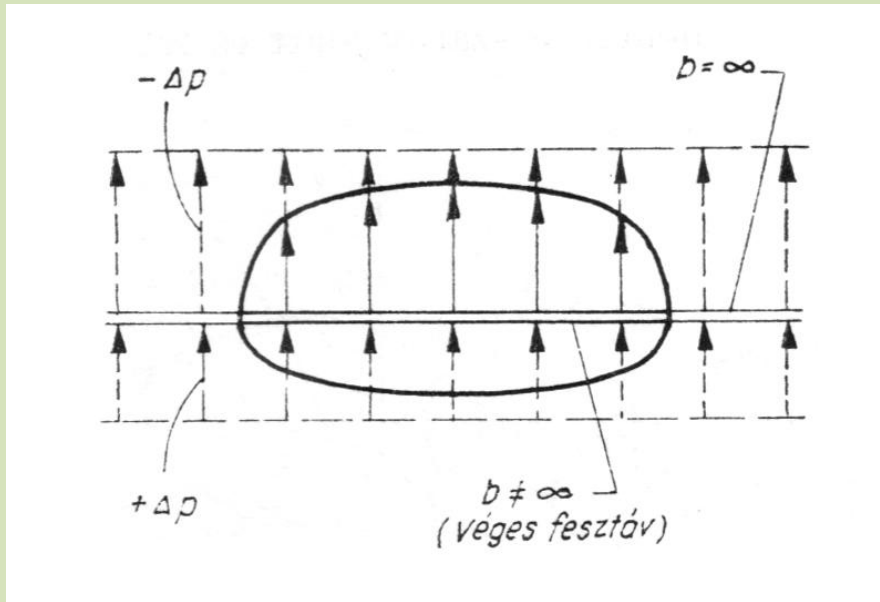
A valóságos szárnyak véges volta azonban, ha nem is érinti a felhajtóerő keletkezésével kapcsolatos előző megállapításainkat, térbelileg lefolyó áramlást eredményez, és ezt semmiképpen sem hagyhatjuk figyelmen kívül.

A térbeli áramlás kialakulásának oka az áramlásban a szárny alatt és felett uralkodó nyomások különbözősége. Ez a nyomáskülönbség véges szárnynál a szárnyvégek körül igyekszik kiegyenlítődni. A végtelen kiterjedésűnek képzelt szárnynál erre nem volt lehetőség és így azt felülről nézve az áramvonalak egymással párhuzamosan futottak. A véges terjedtségű szárnyak körül az áramvonalak kilépnek az áramlással párhuzamos síkából és a nyomáskiegyenlítő törekvés hatására alul a szárnyvégek felé, felül pedig a szárny szimmetriasíkja felé irányulnak. A nyomáskiegyenlítő következtében fellépő áramlás hasonló ahhoz, ami egy síkjára merőlegesen mozgatott sík lap körül jön létre (**48. ábra**).

A nyomáskiegyenlítő következtében a feszítávirányú nyomáseloszlás is megváltozik a végtelen terjedtségű esetben egyenletesnek tekintett eloszláshoz képest (**49. ábra**).



48. ábra.



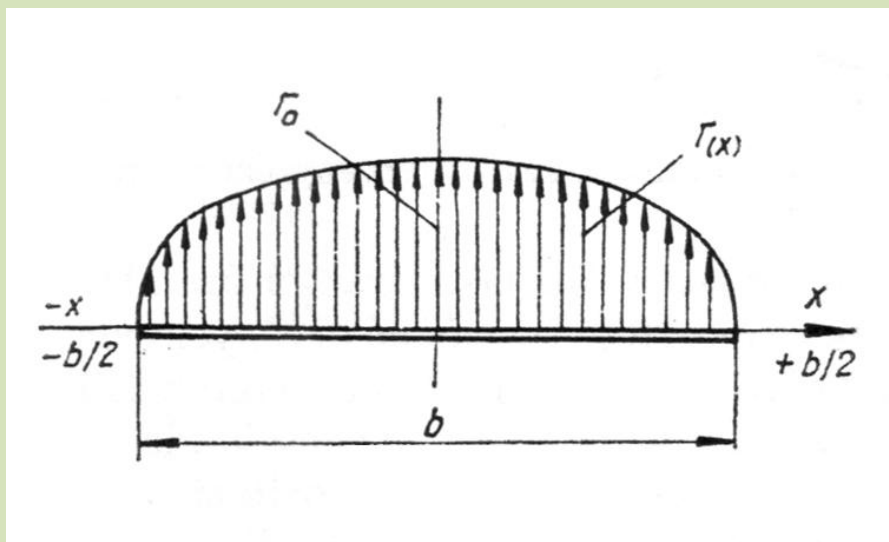
49. ábra.

### Eltérések a véges és a végtelen terjedtségű szárny körüli nyomáseloszlásban

Ugyanígy a cirkuláció is változik és a szárny középrészén elért  $\Gamma_0$  erősségű maximális értékről a szárnyvégek felé haladva 0-ra csökken (50. ábra). Tudjuk, hogy a felhajtóerő a cirkulációval arányos, nyilvánvaló tehát, hogy a felhajtóerő fesztávmenti alakulása is hasonló és a szárnyvégek irányában csökken. Így a véges terjedtségű szárnyon keletkező felhajtóerőt az egész szárnyra érvényes közepes cirkulációval kell számításba venni:

$$P_y = \rho \cdot v \cdot \int_{-b/2}^{+b/2} \Gamma db \quad (12)$$

ez pedig kisebb, mint az azonos állásszögre állított és azonos profilozású végtelen kiterjedésűnek tekintett szárny esetében.



50. ábra.

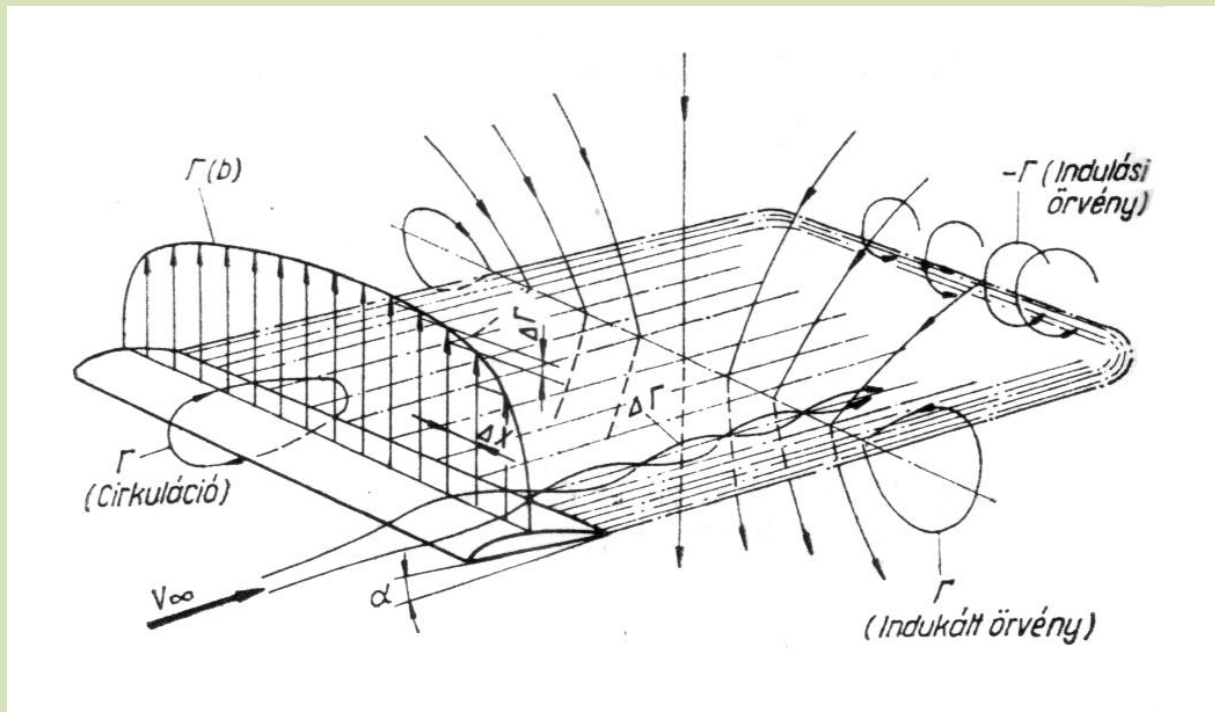
A szárnyról a cirkuláció csökkenésének mértékében örvények válnak le és maradnak el a főáramban. (Ezek az örvények a kilépőél mentén a szárny alatt és felett a nyomás kiegyenlítődés miatt különböző irányú áramlás találkozása révén jönnek létre). Hogy az

előálló örvényeloszlással tisztába jöjjünk, két olyan hidrodinamikai alaptételt kell figyelembe vennünk, amelyek szigorúan véve csak ideális folyadékokra érvényesek, azonban kicsiny viszkozitást tételezve fel, a határreteg kivételével esetünkben is alkalmazhatók. Helmholtz szerint az örvényvonalak, amelyek körül a folyadékreszkek mozognak, mindig zártak, másrészt ilyen örvényvonal cirkulációja minden pontban azonos értékű. Ha most a szárny körüli cirkuláció változatlan volna a teljes fesztáv mentén, akkor csak a szárnyvégeken maradnának le  $\Gamma$  erősségű szabad örvények. Ezek aztán a szárny kötött örvényével együtt patkó alakú örvényt alkotnának, illetve az indulási örvénnyel zárulnának be. Ha ezzel szemben a szárnyat egyenletes szélességű  $dx$  darabokra osztjuk, azt tapasztalhatjuk, hogy folyamatosan válnak le  $\Delta\Gamma$  erősségű örvények, amelyek a szárny mögött örvényfelületet alkotnak. Ezek a  $\Delta\Gamma$  erősségű szabad örvények a szárny középrészétől kiindulva a szárny vége felé éppen olyan mértékben nőnek, mint ahogyan a cirkuláció csökken, és így a szárny egy  $x$  abszcisszájú helyén

$$\Gamma_{(x)} + \Delta\Gamma = \Gamma_0$$

ahol  $\Gamma_{(x)}$  a cirkuláció az adott pontban,  $\Delta\Gamma$  a szárnyról elmaradó szabad örvény és  $\Gamma_0$  a cirkuláció értéke a szárny szimmetriasíkjában. Vagyis a helyi kötött örvények és a leváló szabad örvények erőssége együttesen a cirkuláció maximális értékével egyenlő.

A **51. ábrán** a szárny teljes örvényrendszerét ábrázoltuk. Látható, hogy a szárnyvégek mögött húzódozó  $\Gamma$  erősségű örvényeken kívül a szárnyvégek felé erősödő és szintén zárt rendszert alkotó örvények egész sora húzódik a kilépőél mögött. Ez az örvényfelület azonban instabil és rövidesen felgöngyölödik a **52. ábrán** látható módon. (Az egymás alá rajzolt képek a szárnytól egyre nagyobb távolságban levő állapotot jelzik.)



**51. ábra.**

### A szárny örvényrendszere

A szárny előtt  $v_\infty$  sebességű áramlás a nyomáskiegyenlítő hatására tehát a szárny mögött lefelé irányul. Sebessége itt  $v$ . Az áramlás sebességét a szárny mögött két összetevőre

bonthatjuk, a vízszintes irányú  $v_\infty$ -re és a függőleges  $w$  -re. A  $v_\infty$  és  $v$  közötti irányeltérés a szárny mögött (**53. ábra**)

$$\operatorname{tg} \alpha_i = \frac{w}{v_\infty}$$

és a szárny helyén

$$\operatorname{tg} \alpha_i = \frac{w}{2 \cdot v_\infty} \quad (13)$$

Általában kis szögekről van szó, így jó közelítéssel írhatjuk, hogy

$$\operatorname{tg} \alpha_i = \alpha_i$$

A  $v_\infty$  sebességre irányú  $\alpha$  geometriai állásszögben beállított szárny körüli áramlás iránya megváltozik és az állásszög  $\alpha_i$  indukált állásszöggel kisebb lesz.

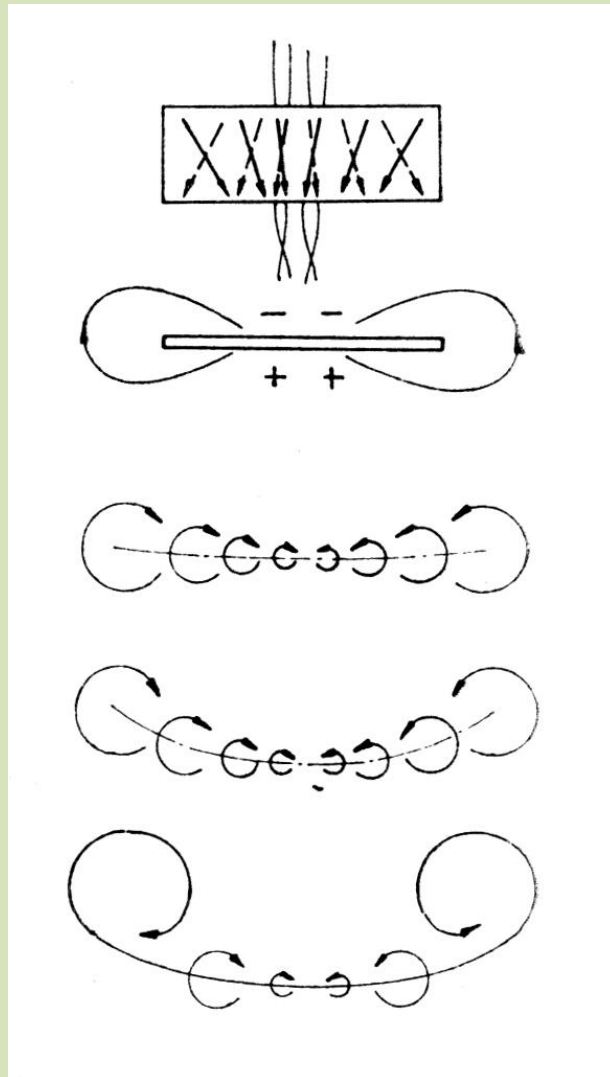
Az effektív állásszög:

$$\alpha_{eff} = \alpha - \alpha_i$$

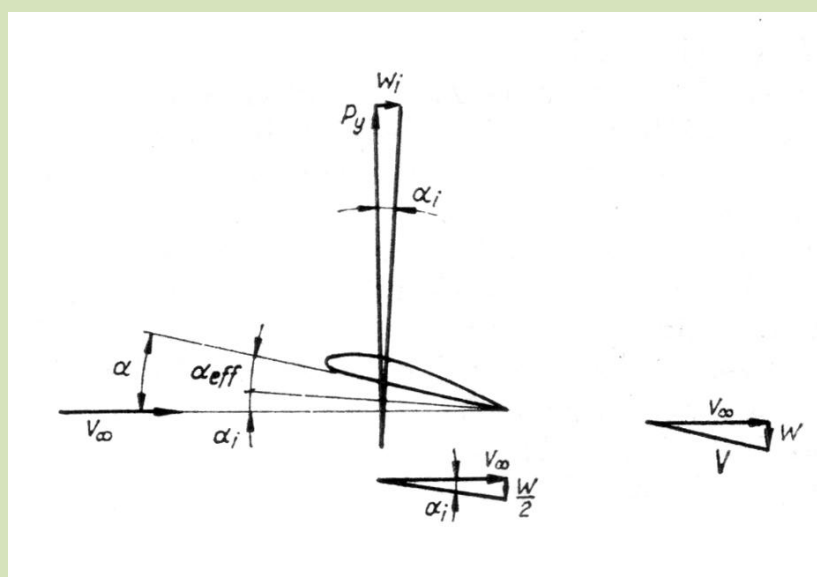
A Kutta-Zsukovszkij törvény értelmében a  $P_y$  felhajtóerő az áramlás irányára, azaz végtelen hosszúságú szárnynál  $v_\infty$ -re merőleges. Véges terjedtségű szárnynál a leáramlás következtében a felhajtóerő iránya  $v_\infty$ -hez viszonyítva hátrahajlik és az  $\alpha_{eff}$  állásszöggel jellemzett valódi ellenállási irányra merőleges. a hátrahajlás következtében azonban a haladást gátló

$$W_i = P_y \cdot \operatorname{tg} \alpha_i \quad (14.)$$

vízszintes komponense keletkezik, melyet Prandtl, a szárny örvényelméletének megalkotója, *indukált ellenállásnak* nevezett.



52. ábra.  
Az örvényfelület felgöngyölődése

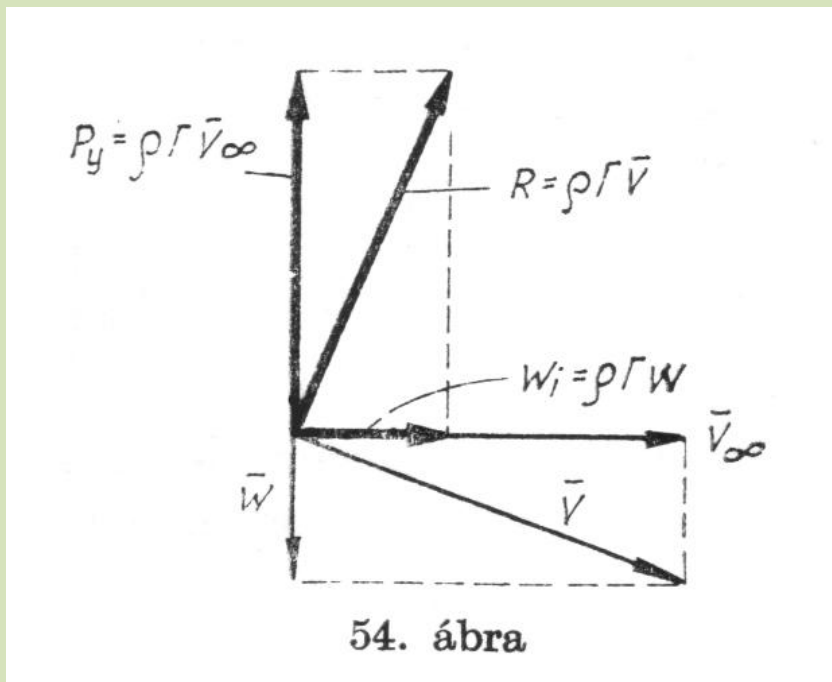


53. ábra.  
Indukált és effektív állásszög

Érdekes, hogy az indukált ellenállást a felhajtóerőhöz teljesen hasonló módon származtathatjuk. A véges terjedtségű szárny  $dx$  szélességű darabját úgy is elképzelhetjük, mintha két egymástól független párhuzamos áramlás áramolna körül. Az egyik a haladással párhuzamos irányú főáramlás, sebessége  $v_\infty$ , a másik pedig az erre merőleges  $w$  sebességű mellékáramlás. Ahogyan a főáramlás a cirkulációval a  $v_\infty$  sebességre merőleges

$$dP_y = \rho \cdot v_\infty \cdot \Gamma dx$$

felhajtóerőt hozta létre, úgy a mellékáramlás a  $w$  leáramlási sebességre merőleges indukált ellenállást kelti (**54. ábra**)



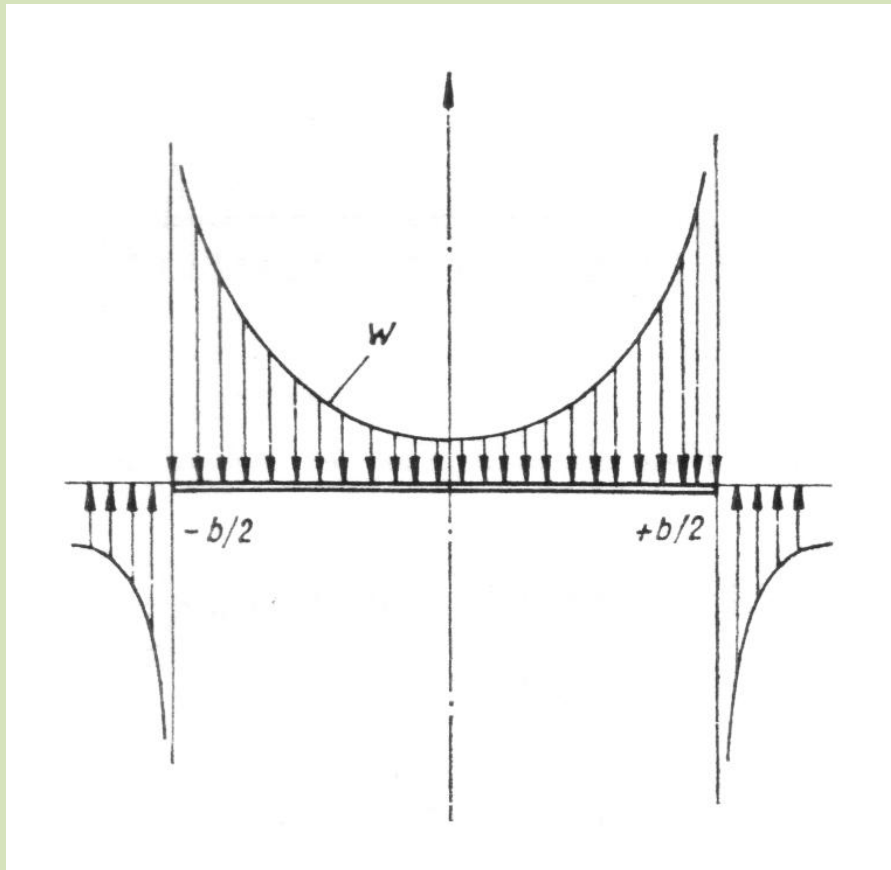
**54. ábra.**

$$dW_i = \rho \cdot w \cdot \Gamma dx \quad (15)$$

Mivel a  $w$  indukált sebesség a szárny mögött hátramaradó és a szárny szimmetriasíkjától a szárnyvégekig növekvő örvények következménye, nyilvánvaló, hogy nagysága azokhoz hasonlóan alakul a fesztáv mentén és a  $\Gamma$  erősségű indukált örvények tengelyvonalaához aszimptotikusan közelítve nő (**55. ábra**). A leáramlási sebesség fesztávmenti változása miatt az indukált ellenállást is középértékével kell számba vennünk:

$$W_i = \rho \cdot \int_{-b/2}^{+b/2} \Gamma(x) \cdot w \cdot dx \quad (16)$$

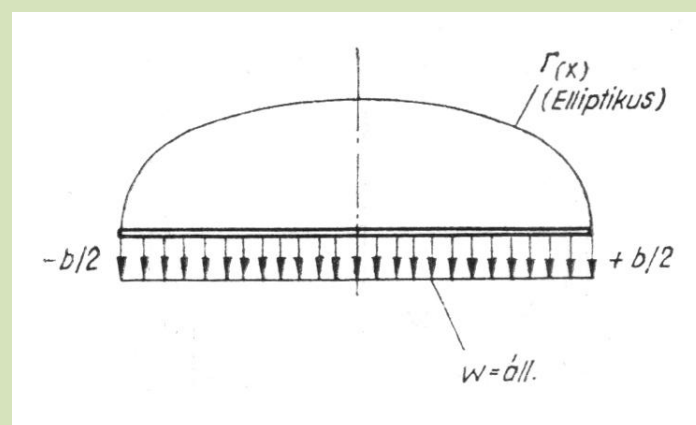
ahol  $\Gamma(x)$  a szárny  $x$  abszcisszájú helyének cirkulációja.



55. ábra.

**Az indukált sebesség eloszlása a fesztáv mentén**

Az indukált ellenállásról Prandtl kimutatta, hogy akkor a legkisebb, ha a szárny egymás melletti metszetei felett kialakuló cirkuláció erőssége úgy változik mint egy, a szárnyfesztáv mint nagytengely fölé írt ellipszis ordinátái (56. ábra). Ennek megfelelően elliptikus cirkuláció-eloszlásnál a szárnyfesztáv valamely  $x$  helyén a cirkuláció erőssége



56. ábra.

**Optimális leáramlás és cirkuláció-eloszlás**

$$\Gamma_{(x)} = \Gamma_0 \sqrt{1 - \frac{4 \cdot x^2}{b^2}} \quad (17)$$

Itt nem részletezett levezetés szerint a fesztv mentén ekkor az állandó leáramlási sebesség

$$w = \frac{\Gamma_0}{2b} \quad (17a)$$

Az indukált ellenállás azonban  $W_i = P_y \frac{w}{v_\infty}$ , illetve  $w$  helyébe (17a)-t helyettesítve

$$W_i = \frac{P_y \cdot \Gamma_0}{2 \cdot b \cdot v_\infty} \quad (18)$$

Az elliptikus cirkuláció-eloszlás a (17) integrálásával

$$P_y = \rho \cdot v_\infty \int_{-b/2}^{+b/2} \Gamma_{(x)} dx = \rho \cdot v_\infty \cdot \Gamma_0 \cdot b \cdot \frac{\pi}{4}$$

felhajtóerőt hoz létre.

Fejezzük ki ebből  $\Gamma_0$  -t és helyettesítsük be a (17a)-ba

$$W_i = \frac{P_y^2}{\frac{\rho}{2} \cdot v_\infty^2 \cdot \pi \cdot b^2}$$

Ez a kifejezés szigorúan véve csak akkor érvényes, ha a szárny metszetei azonosak, egymáshoz viszonyítva nincsenek elcsavarva és a szárny alaprajzának a körvonala két fél ellipsziszből tevődik össze. Ekkor az indukált ellenállás a felhajtóerő négyzetével nő, de az adott felületű szárny fesztvolságának növekedésével négyzetes arányban csökken. Az elliptikustól eltérő minden más cirkuláció eloszlás esetén korrekciós tényezőket kell figyelembe venni. Az indukált ellenállás az elliptikus körvonalú szárnyakon a legkisebb, de mivel az elliptikushoz hasonló eloszlásnál csak kevésbé nagyobb, továbbá a szárnyat megfelelően vékonyítani, illetve elcsavarni is szokták, a körvonal gyakran téglalap vagy trapéz.

A felhajtóerő  $c_y$  tényező alakjának behelyettesítésével az indukált ellenállás képletét

$$W_i = \frac{c_y^2 \cdot \rho \cdot F}{\pi \cdot b^2}$$

alakban írhatjuk át. Mivel  $\frac{b^2}{F} = \lambda$  a szárny karcsúsága, a dimenzió nélküli indukált ellenállási tényező



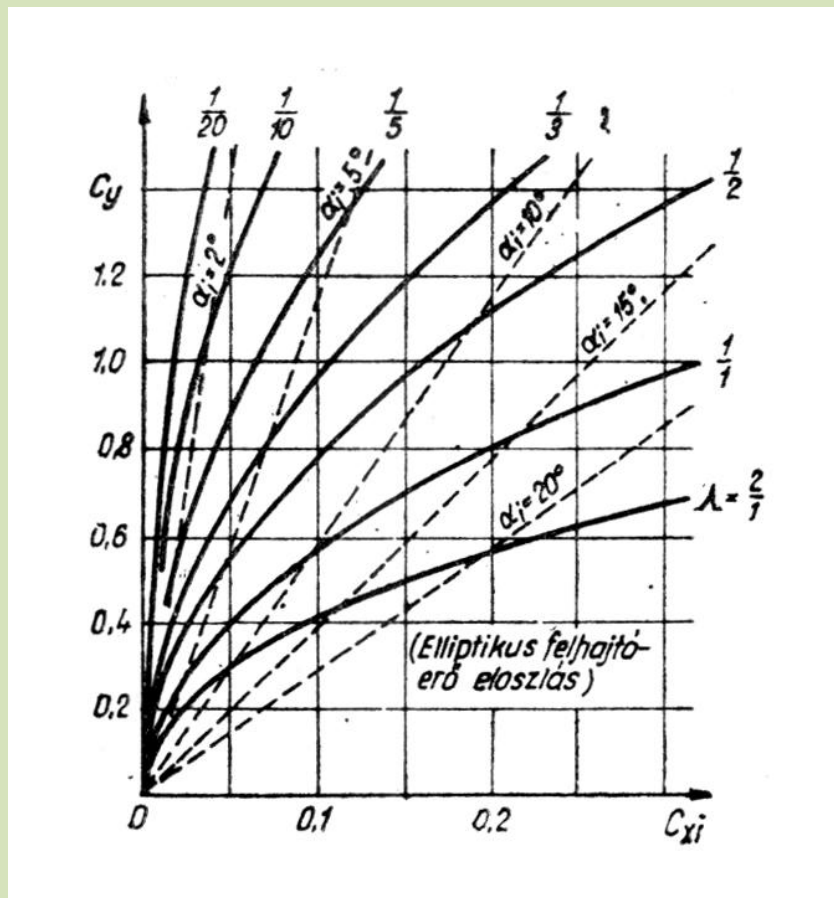
$$c_{xi} = \frac{c_y^2}{\pi \cdot \lambda}$$

Hasonlítsunk össze két azonos felületű, de különböző karcsúságú szárnyat és könnyen beláthatjuk, hogy a kisebb fesztávolságú szárny csak kisebb tömegű közeget mozgat meg. Ha mindkét felülettel azonos felhajtóerőt kívánunk elérni, úgy a

$$P_y = V_s \cdot \rho \cdot w$$

szorzatnak, vagyis az időegység alatt megmozgatott víztömegnek azonosnak kell lennie. Durva közelítéssel feltételezhetjük, hogy a megmozgatott víztömeg a fesztávval mint átmérővel a szárny köré írt kör felületén áramlik át, így a kisebb fesztávú szárnyak nyilvánvalóan nagyobb  $w$  leáramlási sebességet kell indukálnia, mint a nagyobb fesztávúknak. Ezzel indukált állásszöge és az indukált ellenállás nagyobb lesz

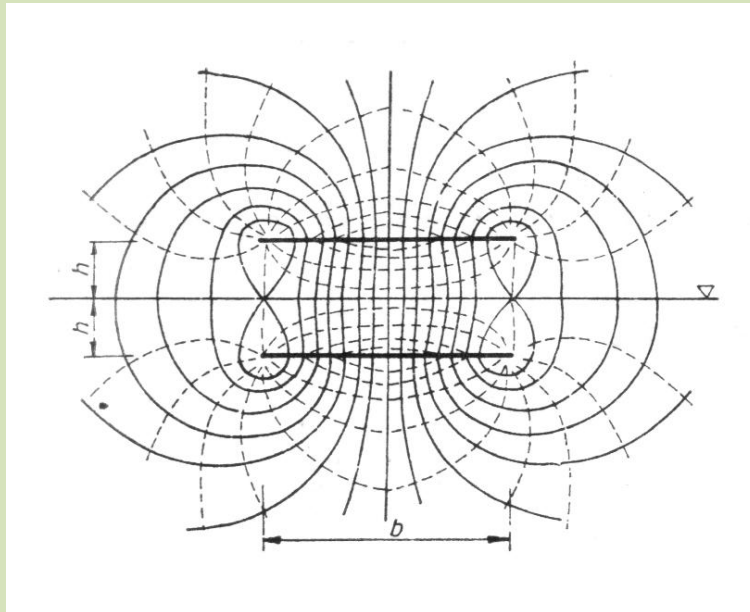
Az indukált ellenállás tényezője különböző oldalviszonyoknál az **57. ábrán** látható a  $c_y$  felhajtóerőtényező függvényében.



57. ábra.

Különböző oldalviszonyú szárnyak indukált ellenállási tényezője a felhajtóerőtényező függvényében

b) A véges fesztávú szárny és a felszínhatás



58. ábra.

**Egyenes víz alatti szárny mögött kialakult abszolút áramlás a felszínhatás figyelembevételével**

A véges fesztávú víz alatti szárny problémája éppen úgy kezelhető, mint a végtelen kiterjedésű közegben mozgó szárnyé, csupán a 2d) pontban kikötött határfeltételek teljesítésére kell ügyelnünk. A véges fesztávú szárny örvényrendszerét a vízfelszínnel párhuzamos tengelyű örvények sorának tekinthetjük. A felszín kis megzavarása esetére előírt  $v_x = v_\infty$  és  $\Delta v \perp v_\infty$  feltételek szem előtt tartásával a felszín felett  $h$  magasságban képzeljük el a víz alattiakkal azonos forgásirányú örvényeket. Az erővonalak eredőinek megszerkesztése után az **58. ábrát** kapjuk. Ezt az áramképet is összehasonlíthatjuk a kétfedelű repülőgép mögött kialakuló áramképpel, amelynek mindkét szárnyán hasonlóan oszlik el a felhajtóerő, és amelyek egymástól való távolsága  $2h$ , azaz a kétszeres merülési mélység. A Weinigtől származó, a következőkben ismertetendő elmélet szerint a víz alatti szárnyfelület indukált ellenállása tehát feleakkora, mint ennek a kétfedelűnek a  $W_{ik}$  együttes ellenállása. (A következőkben  $k$  indexszel a kettős szárny jellemzőit jelöljük.) A víz alatti szárnyfelület  $P_y$  felhajtóereje azonban a felszínhatás következtében valamivel kisebb, mint a kétfedelű  $P_{yk}$  összfelhajtóerejének a fele. Írhatjuk tehát, hogy

$$W_i = \frac{1}{2} \cdot W_{ik}$$

és

$$P_y = \frac{1}{2} \cdot P_{yk} \left( 1 - \frac{u_i(\bar{h})}{v_\infty} \right)$$

Mint korábban – nem túlságosan kicsiny karcsúság esetén és a fesztáv mentén megoszló cirkuláció,  $\Gamma_{köz}$  középértékével – most is érvényes a felszínhatást kifejező járulékos sebességre, hogy

$$\frac{u_{i(\bar{h})}}{v_{\infty}} = \frac{\Gamma_{k\ddot{o}z}}{4 \cdot \pi \cdot h \cdot v_{\infty}}$$

illetve

$$\frac{1}{2} P_{yk} = \varrho \cdot \Gamma_{k\ddot{o}z} \cdot v_{\infty} \cdot b \text{ -- vel}$$

és

$$c_{yk} = \frac{\frac{P_{yk}}{2}}{\frac{\varrho}{2} \cdot v_{\infty}^2 \cdot b \cdot t_{k\ddot{o}z}}$$

helyettesítéssel

$$\frac{u_{i(\bar{h})}}{v_{\infty}} = \frac{c_{yk}}{8 \cdot \pi \cdot \frac{h}{t_{k\ddot{o}z}}}$$

viszont

$$\frac{c_y}{c_{yk}} = \frac{P_v}{\frac{1}{2} P_{yk}}$$

és ezzel

$$\frac{c_y}{c_{yk}} = 1 - \frac{c_{yk}}{8 \cdot \pi \cdot \frac{h}{t_{k\ddot{o}z}}} \quad (19)$$

Egyenes szárnyak esetében és a fesztáv mentén optimálisan eloszló felhajtóerő feltételezésével, és első közelítésben egyéb, az elliptikustól nem túlságosan eltérő felhajtóerő eloszlásokra az indukált ellenállás tényezője

$$c_{xik} = \chi \frac{c_{yk}^2}{\frac{\pi \cdot b^2}{F_k}} \quad (20)$$

Az indukált ellenállás

$$W_{ik} = \chi \frac{P_{yk}^2}{\pi \cdot q \cdot \frac{b^2}{F_k}}$$

A  $\chi$  szorzó a szárnyak egymástól való távolságát, illetőleg e távolság és a fesztáv arányát veszi figyelembe és a következő táblázatból vehető:

$\frac{h}{b} =$	0	0,1	0,2	0,3	0,4	0,5	0,6	$\infty$
$\chi =$	1,000	0,890	0,827	0,779	0,742	0,710	0,684	0,500

A (19) átalakításával

$$c_{yk} = 4 \cdot \pi \cdot \frac{h}{t_{köz}} \left( 1 - \sqrt{1 - \frac{c_y}{2 \cdot \pi \cdot \frac{h}{t_{köz}}}} \right)$$

vagy kis  $c_y$  és  $t_{köz}$  értékekre jó közelítéssel

$$c_{yk} \sim c_y \left( 1 + \frac{c_y}{8 \cdot \pi \cdot \frac{h}{t_{köz}}} \right), \text{ ha } h \gg t_{köz}$$

Ez azonban csak nagy  $\frac{h}{t_{köz}}$  esetén érvényes. A vízfelszín közelében kis állásszöggel  $c_{yk} = 2c_y$ -nak kell lennie, és ezért célszerűen írhatjuk, hogy

$$c_{yk} \sim c_y \left( 1 + \frac{c_y}{c_y + 8 \cdot \pi \cdot \frac{h}{t_{köz}}} \right), \text{ ha } \frac{h}{t_{köz}} \rightarrow 0.$$

Az indukált ellenállás tényezőjének (20) kifejezése ezzel így alakul:

$$c_{xi} \sim 2 \chi \left( 1 + \frac{c_y}{8 \cdot \pi \cdot \frac{h}{t_{köz}}} \right)^2 \frac{c_y^2}{\pi \cdot \frac{b^2}{F}}, \text{ ha } h \gg t_{köz}$$

és

$$c_{xi} \sim 2 \chi \left( 1 + \frac{c_y}{c_y + 8 \cdot \pi \cdot \frac{h}{t_{köz}}} \right)^2 \frac{c_y^2}{\pi \cdot \frac{b^2}{F}}, \text{ ha } \frac{h}{t_{köz}} \rightarrow 0$$

A  $c_{y(\bar{h})}$  felhajtóerőtényező a végtelen kiterjedésű közegben található viszonyítva (10) és (11) szerint

$$c_{y(\bar{h})} = \left( 1 - \frac{c_y}{c_y + 8 \cdot \pi \cdot \frac{h}{t_{köz}}} \right)^2, \text{ ha } h \gg t_{köz}$$

és

$$c_{y(\bar{h})} = c_y \left( 1 - \frac{c_y}{(2 + \sqrt{2})c_y + 8 \cdot \pi \cdot \frac{h}{t_{köz}}} \right)^2, \text{ ha } \frac{h}{t_{köz}} \rightarrow 0$$

Ha a végtelen kiterjedésű közegben mozgó azonos szelvényű és mindenben azonos kialakítású szárny indukált ellenállását

$$c_{xi} = \frac{c_y^2}{\pi \cdot \frac{b^2}{F}}$$

kifejezéssel jelöljük, akkor a víz alatti szárny indukált ellenállási tényezője a  $c_{y(\bar{h})}$  fenti kifejezéseivel

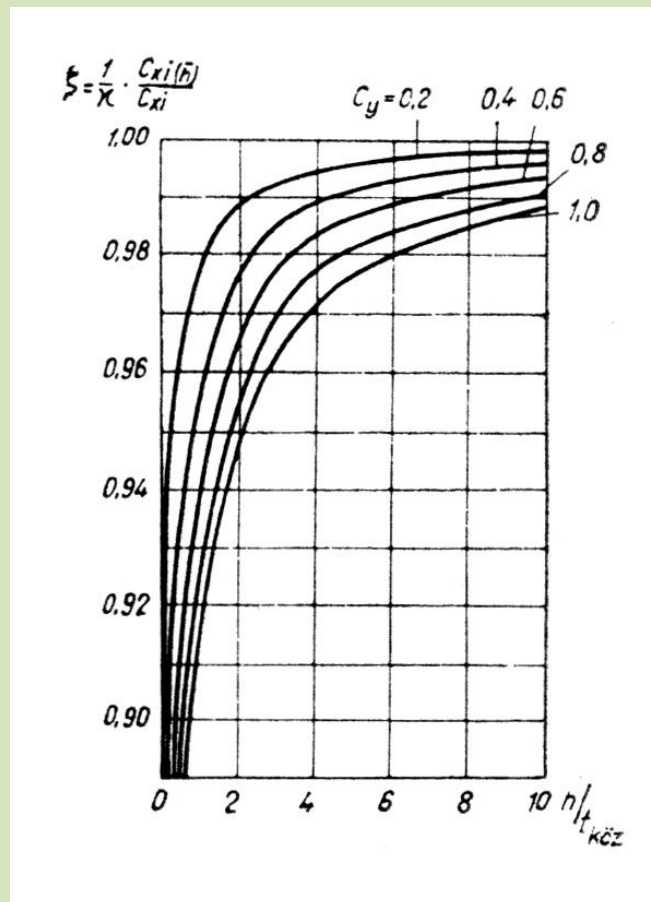
$$c_{xi(\bar{h})} = 2 \chi \left( 1 + \frac{c_{y(\bar{h})}}{8 \cdot \pi \cdot \frac{h}{t_{köz}}} \right)^2 \left( \frac{c_{y(\bar{h})}}{c_y} \right)^2 c_{xi}, \text{ ha } h \gg t_{köz} \quad (21)$$

illetve

$$c_{xi(\bar{h})} = 2 \chi \left( 1 + \frac{c_{y(\bar{h})}}{c_{y(\bar{h})} + 8 \cdot \pi \cdot \frac{h}{t_{köz}}} \right)^2 \left( \frac{c_{y(\bar{h})}}{c_y} \right)^2 c_{xi}, \text{ ha } \frac{h}{t_{köz}} \rightarrow 0. \quad (22)$$

A felszín által a szárny indukált ellenállására gyakorolt hatást jól ábrázolja az **59. ábra**, ahol  $\frac{1}{\chi} \cdot \frac{c_{xi(\bar{h})}}{c_{xi}}$  hányadost különböző  $c_y$  értékekre ábrázoltuk  $\frac{h}{t_{köz}}$  függvényében Weinig után. A felszín hatása hasonlóan érvényesül, mint ahogyan a felhajtóerő esetén láttuk, és az indukált ellenállás  $h/t$  csökkenésével viszonylag gyorsan csökken, bár ez a csökkenés abszolút értékben kis  $c_y$  tényezőknél és akkor, ha  $\bar{h} \rightarrow 0$ -hoz, sem haladja meg a 10%-ot.

c) A felszín közelségének hatása a felhajtóerő fesztávmenti eloszlására



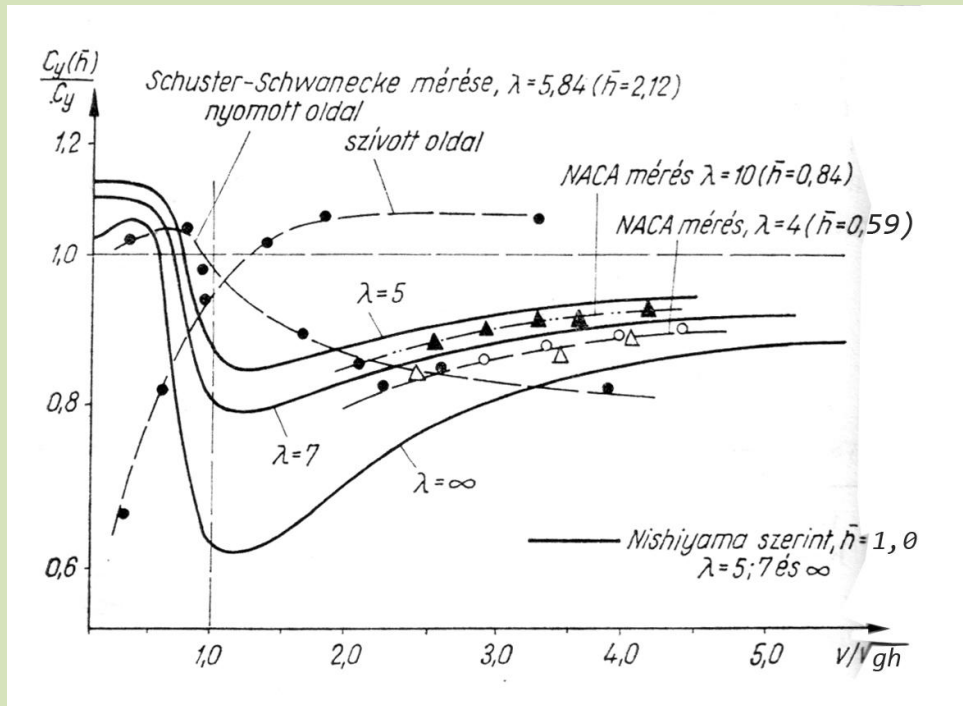
59. ábra.

A végtelen kiterjedésű közegben a felhajtóerőtényező nagyságát – a szárnyas hajóknál számbajövő kis értékeknél – gyakorlatilag függetlennek tekinthetjük a sebességtől. Kísérletek azt mutatták, hogy kis  $\bar{h}$  relatív merüléseknél az

$$F_m = \frac{v}{\sqrt{gh}} = 1$$

mélységi Froude-szám kritikus sebességet jellemez. A kritikuskál kisebb sebességeknél sekélyvízi jelenségek lépnek fel. Egészen kicsiny sebességeknél a kilépőél mögött a vízszint hirtelen megemelkedik és a szárnyat követő sekélyvízi hullám alakul ki. Ebben a sebességtartományban a szárny jellemzői erősen függenek  $F_m$  nagyságától. A felhajtóerőtényező kezdetben viszonylag megnő:  $\frac{C_{y(\bar{h})}}{C_y} > 1$ , majd a kritikus sebesség felé közeledve rohamosan átesik. Változatlan állásszög és egyéb körülmények mellett a végtelen kiterjedésű közegben mérhetőhöz viszonyított legkisebb értékét a kritikus sebességnél éri el. Ettől kezdve a mélységi Froude-szám fokozatosan elveszti jelentőségét és helyébe a  $\bar{h}$  relatív merüléstől való függés lép. Mint a **60. ábrán**  $\lambda = 5,7$  és  $\infty$  karcsúságú szárnyak esetében látható  $\frac{C_{y(\bar{h})}}{C_y}$  aszimptotikusan közeledik 1-hez, illetőleg a relatív merülés által megszabott viszonyszámhoz. Az ábrából az is kitűnik, hogy a sebesség nagyságára való érzékenység erősen függ a szárny

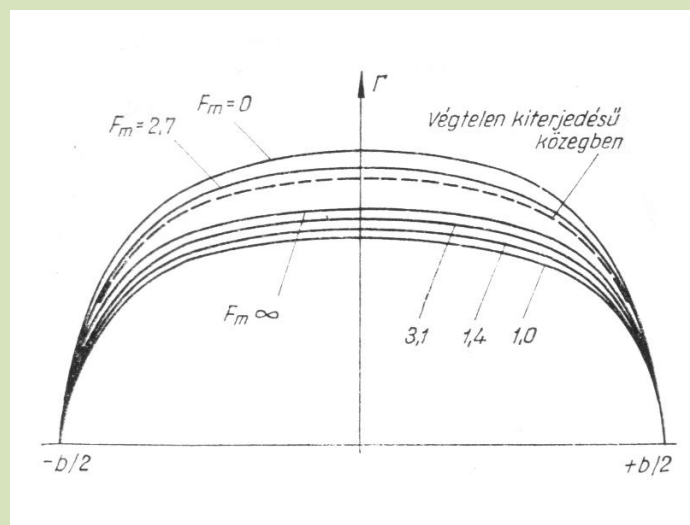
karcsúságától is. Nishiyama szerint minél nagyobb a  $\lambda = \frac{b^2}{F}$  karcsúság, annál erősebben érvényesülnek a sekélyvízi jelenségek. Nishiyama észrevételeit Schuster és Schwanecke kísérlete, valamint NACA (National Advisory Committee for Aeronautics) mérések is igazolják. Az ábrán ez utóbbiak eredményei is szerepelnek  $\lambda = 4$  és  $10$  karcsúság esetére. Az ábrán Schuster és Schwanecke más mérésének eredményét is láthatjuk a szárny nyomott és szívott oldalának  $C_y$  tényezőjére vonatkozólag.



60. ábra.

A felhajtóerőtényező változása a mélységi Froude-szám függvényében

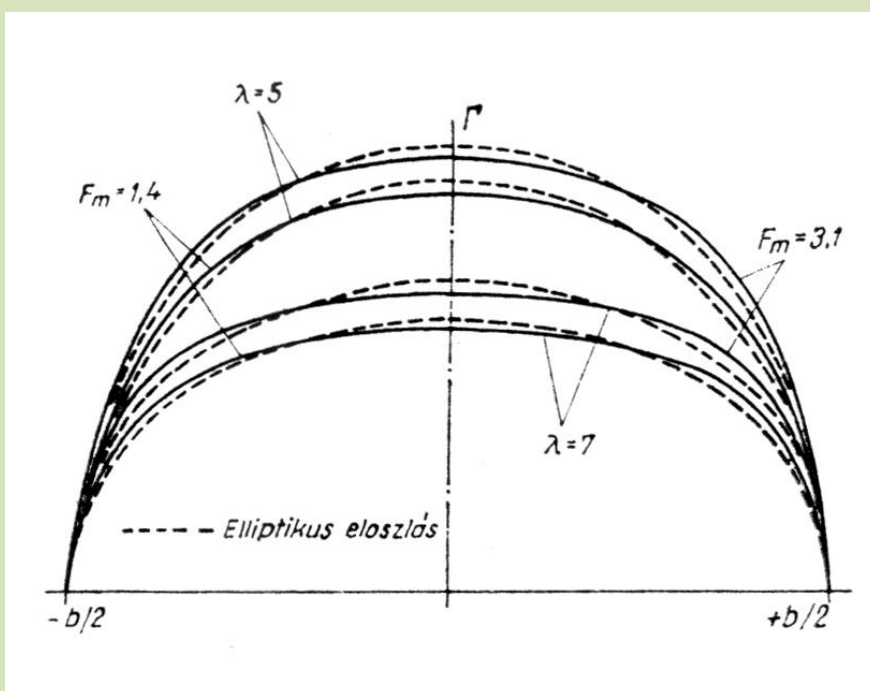
A 61. ábrán a cirkuláció feszítávmenti eloszlásának változását láthatjuk  $\lambda = 5$  karcsúságra és különböző mélységi Froude-számokra. A végtelen kiterjedésű közegben mutatott eloszlást szaggatott vonallal jelöltük. A sebességtől való függés jól látható a kritikus érték környezetében.



61. ábra.

A mélységi Froude-szám hatása a cirkuláció-eloszlásra

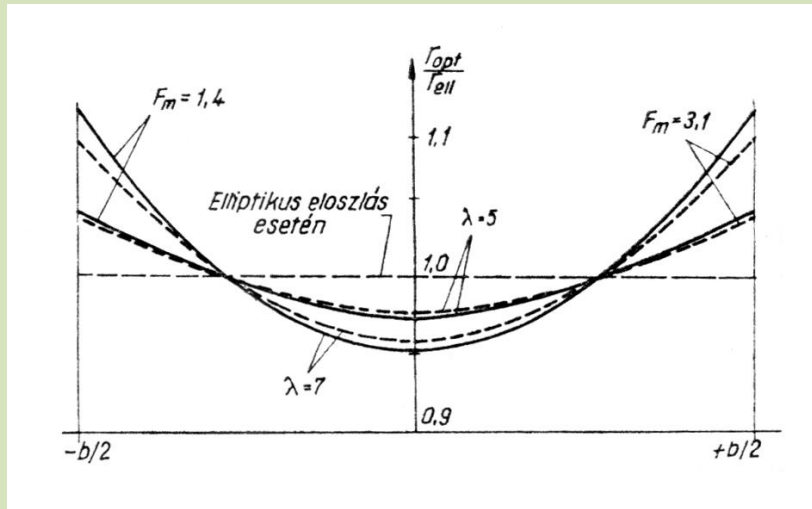
Nishiyama más észrevétele szerint a vízfelszín közelségének hatására a végtelen kiterjedésű közegben kisebb indukált ellenállást keltő ellipszis alaprajzú szárny fesztávmenti felhajtóerőeloszlása megváltozik.  $\bar{h} > 3$  esetén a cirkuláció-eloszlás a fesztáv fölé rajzolt fél ellipszishez hasonló.  $\bar{h} < 3$  esetében a helyi  $\Gamma_x$  cirkulációértékek a szárny középrészén csökkennek, a szárnyvégeken pedig növekednek az elliptikus eloszláshoz viszonyítva. Ezt az észrevételt különböző mérések eredményei, többek között Schuster és Schwanecke említett kísérletei is alátámasztják. Az eltérés nagysága a Froude-számtól, tehát lényegében a sebességtől függ, de a szárny karcúsága is hatással van rá. A **62. ábrán** Nishiyama által bemutatott cirkulációeloszlásokat látunk  $F_m = 1,4$  és  $3,1$  sebesség viszonyánál, valamint  $\lambda = 5$  és  $7$  karcúságokra. Az eltérés okát Schuster és Schwanecke-hez hasonlóan Nishiyama is abban látja, hogy a felszín hatására a szárny középrészén uralkodó erősebb cirkuláció miatt nagyobb  $u_i(\bar{h})$  járulékos sebességek alakulnak ki, mint a szárnyvégeken.



**62. ábra.**  
Optimális cirkuláció-eloszlás a felszín közelében

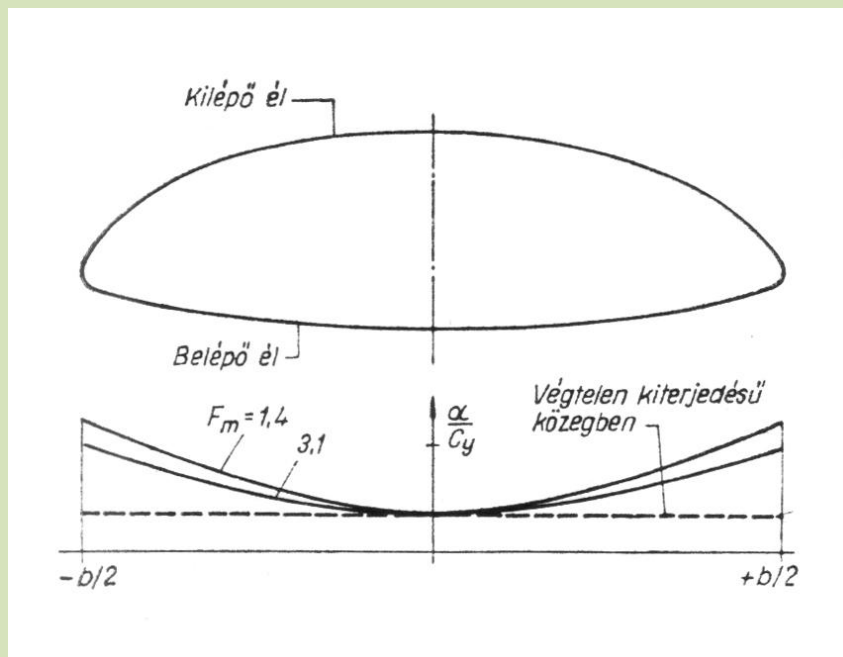
A **63. ábrán** a vízfelszín közelében mutatkozó optimális eloszlás eltérését látjuk az elliptikushoz viszonyítva, százalékos arányban a fesztáv fölé rajzolva. A karcúság hatására jellemző, hogy míg  $\lambda = 5$  -nél az eltérés a szárnyközépen mintegy 2,5%, addig  $\lambda = 7$ -nél az 5%-ot is eléri. A szárnyvégeken viszont az eltérés már 5, ill. 10%, azaz semmiképpen el nem hanyagolható nagyságú.





**63. ábra.**  
Az optimális eloszlás eltérése az elliptikustól

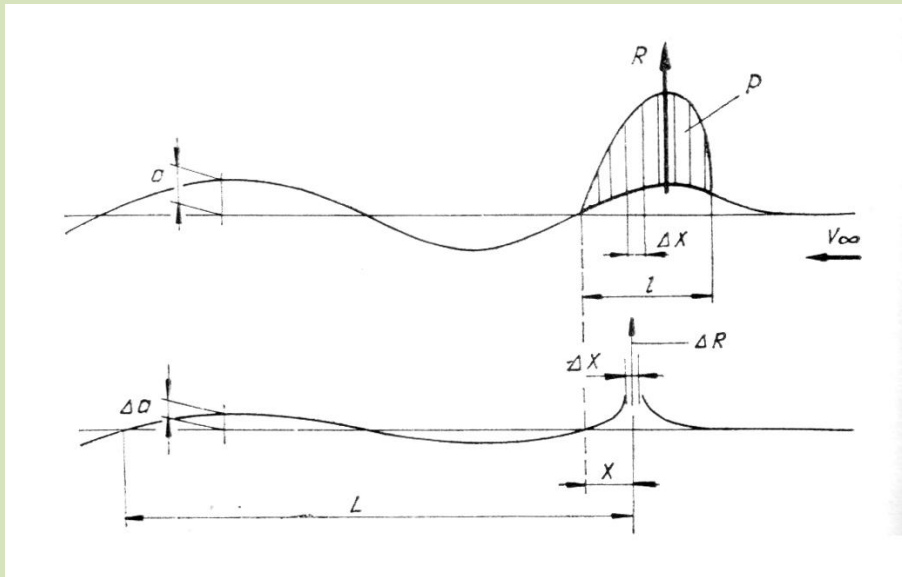
Véges kiterjedésű közegben az elliptikus eloszlást ellipszis alaprajzú szárny adta, amelynek szelvényei a fesztáv mentén egyformák voltak és végig azonos állásszögben érte az áramlás. Ha ugyanezt a szárnyat a felszínhez közelítjük, az optimális eloszlás fenntartása érdekében a metszetek állásszögét a szárnyvégek felé fokozatosan növelni kell. A felszín közelében az optimális eloszlást az ellipszis alaprajzú, de elcsavart szárny biztosítja (**64. ábra**). Az elcsavarásra és a felhajtóerőeloszlás tetszés szerinti befolyásolásának lehetőségeire később térünk ki (lásd C) fejezet).



**64. ábra**

d) Vízfelszín közelében mozgó szárnyak hullámellenállása

A szárnyas hajók hullámellenállása teljes sebességnél – tehát amikor már csak a szárnyfelületek merülnek a víz színe alá- a többi ellenállás-összetevőhöz viszonyítva elenyészően kicsiny. A teljesség kedvéért mégis érintjük e kérdést.



65. ábra.  
A hullámellenálláshoz

Nyilvánvaló, hogy egy szárnyfelület hullámellenállása akkor a legnagyobb, ha a felület a víz felszínén siklik. Tekintsük a végtelen hosszúságúnak képzelt szárnyat ideális vékonyságúnak, amelyet a középvonalával azonos görbületű áramvonallal helyettesíthetünk. Kössük ki még azt is, hogy a belépőnél az áramlás a felületre érintőlegesen érkezzon és így ütközés és visszaverődés nélkül, simán folyjon le. A kicsiny állásszögre állított szárnyfelület előtt a víz fröccsképződés nélkül feltorlódik, majd a kilépőel mögött a felszín a zavartalan vízszinteshez képest lesüllyed. A felület  $t$  húrhosszát, - amely a keletkező hullám  $L$  hosszúságához viszonyítva kicsiny- osszuk elemi hosszúságú  $\Delta x$  szakaszokra. A szárny mögött húzódo hullámot a  $\Delta x$  hosszúságú elemek által keltett és ugyancsak  $L$  hosszúságú hullámelemek összességének tekinthetjük. A hullámhegytől- hullámhegyig mért hullámhossz

$$L = \frac{2 \cdot \pi \cdot v_x^2}{g} \quad (23)$$

Egy  $\Delta x$  hosszúságú és  $b$  szélességű felületelemen ébredő hidrodinamikai erő (65. ábra) a  $p$  nyomás és a felület szorzatával egyenlő:

$$\Delta R = p \cdot \Delta x \cdot b$$

A felütelelem által keltett elemi hullám nagysága

$$\Delta a = \frac{2\Delta R}{b \cdot \rho \cdot v_\infty^2}$$

A teljes  $b \cdot t$  méretű felület által keltett hullám magassága tehát

$$a = \sum \Delta a = \frac{2R}{b \cdot \rho \cdot v_\infty^2}$$

A hullám hosszúsága és magassága tehát független a felületen ható nyomások eloszlásától. A hullámellenállás pedig nem más, mint ezen  $L$  hosszúságú és  $a$  magasságú hullám létrehozásához az áramlás összenergiájából elvont mozgási energia:

$$W_{hull} = \frac{1}{4} \cdot \rho \cdot g \cdot a^2 \cdot b$$

és a fenti kifejezések behelyettesítésével

$$W_{hull} = \frac{R^2 \cdot g}{\rho \cdot v_\infty^4 \cdot b} \quad (24)$$

Korábbi kikötésünk értelmében a felület állásszöge kicsiny, így  $R$  helyébe a szárnyszelvény jellemzőivel adott  $P_y$  felhajtóerőt helyettesíthetjük:

$$R = P_y = c_y \cdot \frac{\rho}{2} \cdot v_\infty^2 \cdot b \cdot t \quad (24a)$$

Végtelen hosszúságú szárnyról van szó, tehát indukált ellenállás nem keletkezik, valamint idealizált közegben eltekinthetünk a súrlódási ellenállástól is, így az áramlásra merőleges iránytól hátrahajló  $R$  eredő erő vízszintes vetülete csak a  $W_{hull}$  hullámellenállás lehet. Fejezzük ki ezt is erőtényező alakban:

$$C_{x\ hull} = \frac{W_{hull}}{\frac{\rho}{2} \cdot v_\infty^2 \cdot b \cdot t}$$

A (24) és a (24a) behelyettesítése, rendezés és az alábbi jelölés felhasználásával:

$$k = \frac{t}{L} = \frac{t}{\frac{v_\infty^2}{g}}$$

A dimenzió nélküli *hullámellenállási tényező* így alakul:

$$C_{x\ hull} = \frac{c_y^2}{2 \cdot \frac{v_\infty^2}{g \cdot t}} = \frac{k}{2} \cdot c_y^2$$

illetve  $L$  korábbi (23) kifejezésével

$$C_{x\ hull} = \pi \frac{c_y^2}{\frac{L}{t}} \quad (25)$$

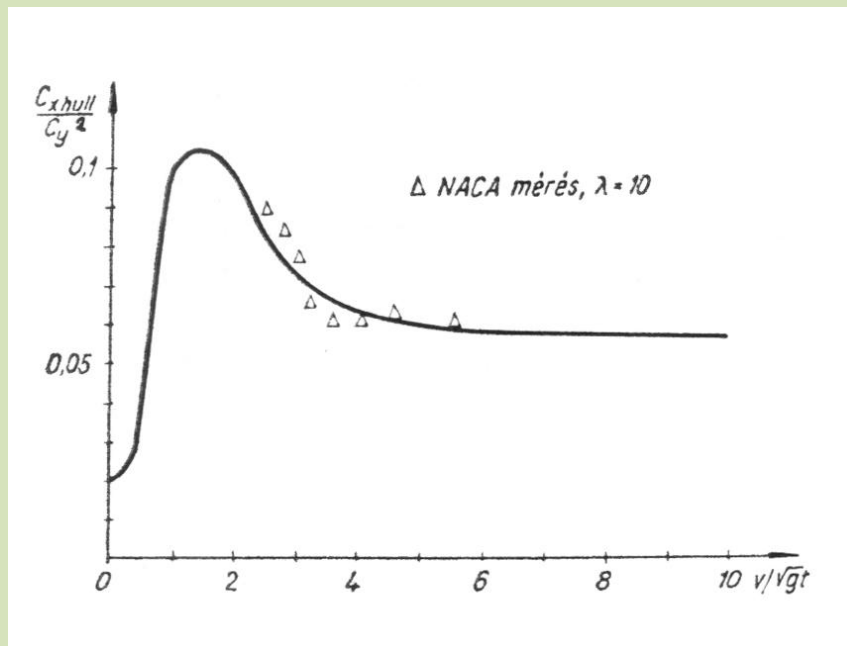
A hullámellenállás tehát független a szárny oldalviszonyától – legalábbis míg az nem túlságosan kicsiny – így véges fesztávú szárnyakra is alkalmazhatjuk a kapott eredményt. Mivel pedig az indukált ellenállási tényező

$$c_{xi} = 2 \frac{c_y^2}{\pi \cdot \frac{b}{t}}$$

felírhatjuk a hullámellenállás és az indukált ellenállás arányát:

$$\frac{C_{x\ hull}}{c_{xi}} = \frac{\pi^2}{2} \cdot \frac{b}{L} \quad (25a)$$

Ez pedig azt mutatja, hogy amíg  $\frac{L}{b} > \frac{\pi^2}{2}$ , addig a hullámellenállás kisebb, mint az indukált ellenállás. Ha a szárny fesztávolsága  $b < \frac{L}{5}$ , a hullámellenállás egyre kisebb lesz az erősen növekvő indukált ellenálláshoz viszonyítva.



66. ábra.

#### A hullámellenállás változása a Froude-szám függvényében

Az eddigiekben a víz felszínén sikló felület viszonyairól volt szó. A felszín alá merült felület hullámellenállása az így kapott értéknél minden esetben csak kisebb lehet, mert a felület megzavarása tőle nagyobb távolságban haladó tárgytól ered. A szárnyszelvény vastagságának nincsen különösebb szerepe és Weinig szerint a felszín alatt mozgó szárny hullámellenállási tényezője nem haladja meg egy  $d$  átmérőjű, víz alá merített hengerét:

$$c_{x \text{ hull}} = \frac{\pi^2}{2} \cdot F^{-6} \cdot e^{-2 \cdot \frac{h}{d} \cdot F_r^{-2}}$$

ahol  $F_r = v / \sqrt{g \cdot d}$ . Ez az érték – bár a kritikus  $F_r = 1$  sebességviszony környezetében erős növekedést mutat (66. ábra) – a megépült szárnyas hajók példája szerint szintén elhanyagolható, mivel ezek üzemi sebessége jóval a kritikus felett van. Szokolov szerint  $F_r < 6$  esetében:

$$c_{x \text{ hull}} = \frac{1}{2} \cdot \frac{1 - \frac{\pi^2}{F_r^2}}{F_r^2} \cdot c_y^2$$

$F_r = 7$  és  $10$  között

$$c_{x \text{ hull}} = \frac{1}{2} \cdot \frac{c_y^2}{F_r}$$

és  $F_r > 10$  esetén mindenképpen elhanyagolhatóan kicsiny, a szárny ellenállásának csupán csekély részét teszi ki:  $\sim 0,02 c_{x \text{ össz}}$